



SEGURIDAD

SECRETARÍA DE SEGURIDAD
Y PROTECCIÓN CIUDADANA



CENAPRED

CENTRO NACIONAL DE
PREVENCIÓN DE DESASTRES

“ESPECTROS DE RESPUESTA EN LA CDMX DE LOS SISMOS DE SEPTIEMBRE DE 2017, M 8.2 EN EL GOLFO DE TEHUANTEPEC Y M 7.1 PUEBLA- MORELOS”

**CENTRO NACIONAL DE PREVENCIÓN DE DESASTRES
CENAPRED**

**CORDINACIÓN NACIONAL DE PROTECCIÓN CIVIL MÉXICO
SECRETARÍA DE GOBERNACIÓN**

Elaboró:

Emmanuel Ramírez Álvarez

Jefe de Departamento de Investigación Aplicada a Riesgos Sísmicos

Subdirección de Riesgos Sísmicos

Ciudad de México, Diciembre 2018

Av. Delfín Madrigal No. 665, Col. Pedregal de Santo Domingo, Alcaldía Coyoacán
Ciudad de México, C.P. 04360, Tel. 52+(55) 5424 6100, www.gob.mx/cenapred

Los avisos de privacidad están disponibles para consulta en
<https://www.gob.mx/cenapred/es/documentos/avisos-de-privacidad-del-cenapred>



ÍNDICE

| | |
|---|-----------|
| ÍNDICE | 2 |
| RESUMEN | 3 |
| 1. INTRODUCCIÓN..... | 3 |
| 1.1 Antecedentes..... | 3 |
| 1.2 Alcances y objetivos..... | 4 |
| 1.3 Localización de las estaciones acelerométricas en el Valle de México..... | 4 |
| 2. DESCRIPCIÓN DE LOS TRABAJOS REALIZADOS..... | 7 |
| 2.1 Características de los sismos del 07 y 19 de septiembre de 2017 | 7 |
| 2.2 Espectros de repuesta | 13 |
| 2.3 Mapas de Aceleración..... | 14 |
| 3. Resultados..... | 19 |
| 3.1 Espectros de repuesta del sismo del 07 de septiembre | 19 |
| 3.2 Espectros de repuesta del sismo del 19 de septiembre | 23 |
| Conclusiones | 29 |
| Referencias | 29 |
| Agradecimientos..... | 30 |
| Anexo I. | 31 |



RESUMEN

El día 07 septiembre de 2017, a las 23:49:18 hora local (04:49:18 GMT) ocurrió un sismo de magnitud $Mw = 8.2$, con epicentro frente a las costas del estado de Oaxaca, 11 días después, el 19 de septiembre de 2017, a las 13:14:40 hora local (18:14:40 GMT) ocurrió un sismo de magnitud $Mw = 7.1$, con epicentro en el estado de Puebla en los límites con el estado de Morelos.

Analizar la forma cómo se transfirió la energía sísmica producto de estos sismos a las edificaciones es el paso esencial en prevención de desastres causados por sismo fuertes, pues este conocimiento permite crear construcciones con diseños más resistentes y apropiados (P.B. Palacios et.al, 2016). Las edificaciones tienen varios modos de vibración que dependen de los materiales usados, la geometría del diseño, su número de grados de libertad, entre otros. Sin embargo, el modo principal o primer modo de vibración puede ser estudiado con un oscilador simple de un grado de libertad.

En este informe se presentan, de manera resumida las características sismológicas del evento. Se describen los análisis, observaciones y los espectros de respuesta obtenidos con los datos de aceleración disponibles de las redes acelerométricas de la Ciudad de México (Cires, CENAPRED y II-UNAM).

1. INTRODUCCIÓN

1.1 Antecedentes

El territorio nacional se localiza en el Cinturón Circumpacífico, en nuestro país, el choque de las placas oceánicas de Cocos y Rivera contra la placa continental de Norteamérica genera sismos de gran magnitud.

En el mes de septiembre de 2017 se presentaron dos de estos sismos y que pueden catalogarse dentro de los más importantes en los últimos 40 años, en las regiones de Oaxaca-Chiapas y Puebla-Morelos (SSN), ambos sismos fueron reportados oportunamente por el Servicio Sismológico Nacional con las siguientes características:

- a) El 07 de septiembre de 2017 el Servicio Sismológico Nacional (SSN) informó de la ocurrencia de un sismo de magnitud $Mw 8.2$ a las 23:49:18 hora local (04:49:18 GMT). El epicentro se ubicó a 133 km al suroeste de Pijijiapan, Chiapas. Las coordenadas focales fueron: -94.11° longitud E, 14.85° latitud N y 58 km de profundidad.
- b) El 19 de septiembre de 2017 el Servicio Sismológico Nacional (SSN) informó de la ocurrencia de un sismo de magnitud $Mw 7.1$ a las 13:14:40 hora local (18:14:40 GMT). El epicentro se ubicó a 133 km al suroeste de Pijijiapan, Chiapas. Las coordenadas focales fueron: -94.11° longitud E, 14.85° latitud N y 58 km de profundidad.

Estos sismos afectaron a un gran número de viviendas, escuelas, algunos centros de salud y un cierto número de edificios públicos. Los daños más significativos se registraron en las casas de mampostería (adobe y concreto), aunque también se registraron daños importantes en un buen número de edificios de tres a 10 niveles, básicamente debido a prácticas constructivas inadecuadas.



SEGURIDAD

SECRETARÍA DE SEGURIDAD
Y PROTECCIÓN CIUDADANA



CENAPRED

CENTRO NACIONAL DE
PREVENCIÓN DE DESASTRES

1.2 Alcances y objetivos

Los alcances y objetivos de este estudio se resumen en los siguientes párrafos:

- 1) Recopilar y analizar la información de registros de aceleración disponibles de las redes acelerométricas dentro del Valle de México.
- 2) Obtener espectros de respuesta de aceleración de cada uno de los registros disponibles.
- 3) Obtener mapas de intensidades de aceleración registradas durante los eventos del 07 y 19 de septiembre de 2017.

1.3 Localización de las estaciones acelerométricas en el Valle de México

Dentro del Valle de México existen diferentes instituciones tanto públicas como privadas que operan redes acelerométricas, tales como; el Centro Nacional de Prevención de Desastres (CENAPRED), el Centro de Instrumentación y Registro Sísmico A.C (CIRES), Instituto de Ingeniería de la UNAM (II-UNAM) y el Servicio Sismológico Nacional (SSN). Para este estudio se pudo obtener información de 73 estaciones de la red acelerométrica del CIRES (63 estaciones), CENAPRED (cinco estaciones) y del II-UNAM (cinco estaciones).

La ubicación de cada una de las estaciones acelerométricas dentro del Valle de México que cuentan con información de los eventos sísmicos que se analizaron en este estudio se muestra en la Figura 1.1, en este misma figura se muestra la microzonificación sísmica propuesta por el reglamento de construcciones de Distrito Federal del 2004 (RCDF-2004). En la Tabla 1.1 se enlista cada estación y las instituciones públicas o privadas responsables de las mismas.

Tabla 1.1 Listado de estaciones con información disponible de los sismos del 07 y 19 de septiembre de 2017.

| No | Institución | Latitud | Longitud | Clave | Nombre |
|-----|-------------|---------|----------|-------|------------------------------------|
| 1. | CIRES | 19.429 | 99.0584 | AE02 | ESC. PRIM. "GONZÁLEZ GARZÓN" |
| 2. | CIRES | 19.4356 | 99.1453 | AL01 | ALAMEDA |
| 3. | CIRES | 19.358 | 99.1539 | AO24 | ALBERCA OLÍMPICA |
| 4. | CIRES | 19.3809 | 99.1068 | AP68 | JARDÍN DE NIÑOS "JUAN B. LA SALLE" |
| 5. | CIRES | 19.3919 | 99.0869 | AU11 | AUTÓDROMO |
| 6. | CIRES | 19.3832 | 99.1681 | AU46 | ESC. SEC. TÉC. NO. 14 |
| 7. | CIRES | 19.4097 | 99.145 | BA49 | BUENOS AIRES |
| 8. | CIRES | 19.4253 | 99.1481 | BL45 | BALDERAS |
| 9. | CIRES | 19.4653 | 99.1047 | BO39 | BONDOJITO |
| 10. | CIRES | 19.4258 | 99.1183 | CA59 | CANDELARIA |
| 11. | CIRES | 19.3398 | 99.0847 | CE18 | ESC. PRIM. "RAMÓN ESPINOZA V." |
| 12. | CIRES | 19.4619 | 99.0642 | CE23 | CETIS ARAGÓN |
| 13. | CIRES | 19.3858 | 99.0537 | CE32 | CETIS NO. 57 |
| 14. | CIRES | 19.33 | 99.1254 | CH84 | CULHUACÁN |
| 15. | CIRES | 19.4186 | 99.1653 | CI05 | CIBELES |
| 16. | CIRES | 19.4097 | 99.1567 | CJ03 | CENTRO URBANO JUÁREZ |
| 17. | CIRES | 19.4098 | 99.1566 | CJ04 | MULTIFAMILIAR JUÁREZ II |
| 18. | CIRES | 19.3714 | 99.1703 | CO47 | COYOACÁN |
| 19. | CIRES | 19.4215 | 99.159 | CO56 | ESC. SEC. TÉC. NO. 18 |
| 20. | CIRES | 19.4385 | 99.0839 | CP28 | CERRO DEL PEÑÓN |
| 21. | CIRES | 19.3656 | 99.2262 | CS78 | ESC. SEC. NO. TÉC. NO. 243 |
| 22. | CIRES | 19.4876 | 99.1137 | CT64 | CERRO DEL TEPEYAC |

Av. Delfín Madrigal No. 665, Col. Pedregal de Santo Domingo, Alcaldía Coyoacán
Ciudad de México, C.P. 04360, Tel. 52+(55) 5424 6100, www.gob.mx/cenapred

Los avisos de privacidad están disponibles para consulta en
<https://www.gob.mx/cenapred/es/documentos/avisos-de-privacidad-del-cenapred>



SEGURIDAD

SECRETARÍA DE SEGURIDAD
Y PROTECCIÓN CIUDADANA



CENAPRED

CENTRO NACIONAL DE
PREVENCIÓN DE DESASTRES

| No | Institución | Latitud | Longitud | Clave | Nombre |
|-----|-------------|---------|----------|----------|------------------------------------|
| 23. | CIRES | 19.2938 | 99.1037 | CU80 | ESC. PRIM. "AURORA LÓPEZ VELARDE" |
| 24. | CIRES | 19.4312 | 99.0963 | DM12 | DEPORTIVO MOCTEZUMA |
| 25. | CIRES | 19.5005 | 99.1829 | DR16 | DEPORTIVO REYNOSA |
| 26. | CIRES | 19.3322 | 99.1439 | DX37 | DCCOH XOTEPINGO |
| 27. | CIRES | 19.3885 | 99.1772 | EO30 | JARDÍN "ESPARZA OTEO" |
| 28. | CIRES | 19.4017 | 99.1775 | ES57 | ESCANDÓN |
| 29. | CIRES | 19.4251 | 99.1582 | EX12 | ESC. SEC. NO. 3 |
| 30. | CIRES | 19.299 | 99.21 | FJ74 | FUNDACIÓN JAVIER BARROS SIERRA |
| 31. | CIRES | 19.4385 | 99.1401 | GA62 | ESC. SEC. TÉC. NO. 2 |
| 32. | CIRES | 19.3161 | 99.1059 | GC38 | JARDÍN DE NIÑOS "LUZ GARCÍA c." |
| 33. | CIRES | 19.4747 | 99.1797 | GR27 | GRANJAS |
| 34. | CIRES | 19.4251 | 99.1301 | HJ72 | HOSPITAL JUÁREZ |
| 35. | CIRES | 19.345 | 99.1297 | IB22 | ESC. SEC. TÉC. NO. 95 |
| 36. | CIRES | 19.4053 | 99.125 | JA43 | JAMAICA |
| 37. | CIRES | 19.313 | 99.1272 | JC54 | PARQUE JARDINES DE COYOACÁN |
| 38. | CIRES | 19.3064 | 98.9631 | LI33 | LICONSA |
| 39. | CIRES | 19.4263 | 99.1569 | LI58 | ESC. SEC. DNA. NO. 23 |
| 40. | CIRES | 19.4931 | 99.1275 | LV17 | LINDAVISTA |
| 41. | CIRES | 19.4383 | 99.182 | ME52 | ESC. SEC. TÉC. "RAFAÉL DONDÉ" |
| 42. | CIRES | 19.2834 | 99.1253 | MI15 | MIRAMONTES |
| 43. | CIRES | 19.4253 | 99.19 | MT50 | MARISCAL TITO |
| 44. | CIRES | 19.3461 | 99.0433 | MY19 | MEYEHUALCO |
| 45. | CIRES | 19.4027 | 99 | NZ20 | NEZAHUALCÓYOLT |
| 46. | CIRES | 19.4167 | 99.0247 | NZ31 | NEZAHUALCÓYOLT |
| 47. | CIRES | 19.2016 | 99.0491 | PA34 | ESC. PRIM. "ÁLVARO OBREGÓN" |
| 48. | CIRES | 19.4055 | 99.0997 | PD42 | PALACIO DE LOS DEPORTES |
| 49. | CIRES | 19.3809 | 99.1318 | PE10 | ESC. PRIM. "PLUTARCO ELÍAS CALLES" |
| 50. | CIRES | 19.4473 | 99.1 | RI76 | REPÚBLICA DE ITALIA |
| 51. | CIRES | 19.4359 | 99.128 | RM48 | ESC. PRIM. "RODOLFO MENENDEZ" |
| 52. | CIRES | 19.3753 | 99.1483 | SI53 | SAN SIMÓN |
| 53. | CIRES | 19.3656 | 99.1189 | SP51 | SECTOR POPULAR |
| 54. | CIRES | 19.2786 | 99 | TH35 | TLÁHUAC |
| 55. | CIRES | 19.45 | 99.1336 | TL08 | DEPORTIVO "ANTONIO CASO T-II" |
| 56. | CIRES | 19.4536 | 99.1425 | TL55 | TLATELOLCO |
| 57. | CIRES | 19.2922 | 99.1708 | TP13 | TLALPAN |
| 58. | CIRES | 19.4337 | 99.1654 | UC44 | UNIDAD COLONIA IMSS |
| 59. | CIRES | 19.37 | 99.2642 | UI21 | U. IBEROAMERICANA |
| 60. | CIRES | 19.4539 | 99.1225 | VG09 | VALLE GÓMEZ |
| 61. | CIRES | 19.3811 | 99.1253 | VM29 | VILLA DEL MAR |
| 62. | CIRES | 19.2711 | 99.1024 | XO36 | JARDÍN DE NIÑOS "XOCHIMILCO" |
| 63. | CIRES | 19.4198 | 99.1353 | XP06 | JARDÍN DE NIÑOS "XOCHIPILLI" |
| 64. | CENAPRED | 19.3477 | -99.1687 | CYK2 | COYOACÁN |
| 65. | CENAPRED | 19.3147 | -99.175 | CNBA | CENAPRED |
| 66. | CENAPRED | 19.493 | -99.111 | ESTS | ESTANZUELA |
| 67. | CENAPRED | 19.4885 | -99.1489 | IMP_Base | EST. No.15, IMP |
| 68. | CENAPRED | 19.4186 | -99.1111 | UKK2 | U. KENNEDY |
| 69. | CENAPRED | 18.9836 | -99.23 | CUER | CUERNAVACA |
| 70. | CENAPRED | 19.3974 | 99.1052 | TLK2 | TLACOTAL |
| 71. | CENAPRED | 19.4157 | -99.2048 | CHAS | CHAPULTEPEC |
| 72. | II-UNAM | 19.4498 | -99.137 | CCCL | CC UNIVERSITARIO TLATELOLCO |
| 73. | II-UNAM | 19.3302 | -99.1811 | CUP5 | II PATIO 5 |
| 74. | II-UNAM | 19.3227 | -99.0976 | LEAC | LOMAS ESTRELLA |
| 75. | II-UNAM | 19.4857 | -99.049 | PISU | PUENTE IMPULSORA |
| 76. | II-UNAM | 19.3947 | -99.1487 | SCT2 | EDIFICIO DE SCT |
| 77. | II-UNAM | 19.4045 | -99.1952 | TACY | TACUBAYA |
| 78. | II-UNAM | 19.4228 | 99.1591 | PCJR | EDIFICIO PLAZA CORDOBA JARDIN |

Av. Delfín Madrigal No. 665, Col. Pedregal de Santo Domingo, Alcaldía Coyoacán
Ciudad de México, C.P. 04360, Tel. 52+(55) 5424 6100, www.gob.mx/cenapred

Los avisos de privacidad están disponibles para consulta en
<https://www.gob.mx/cenapred/es/documentos/avisos-de-privacidad-del-cenapred>

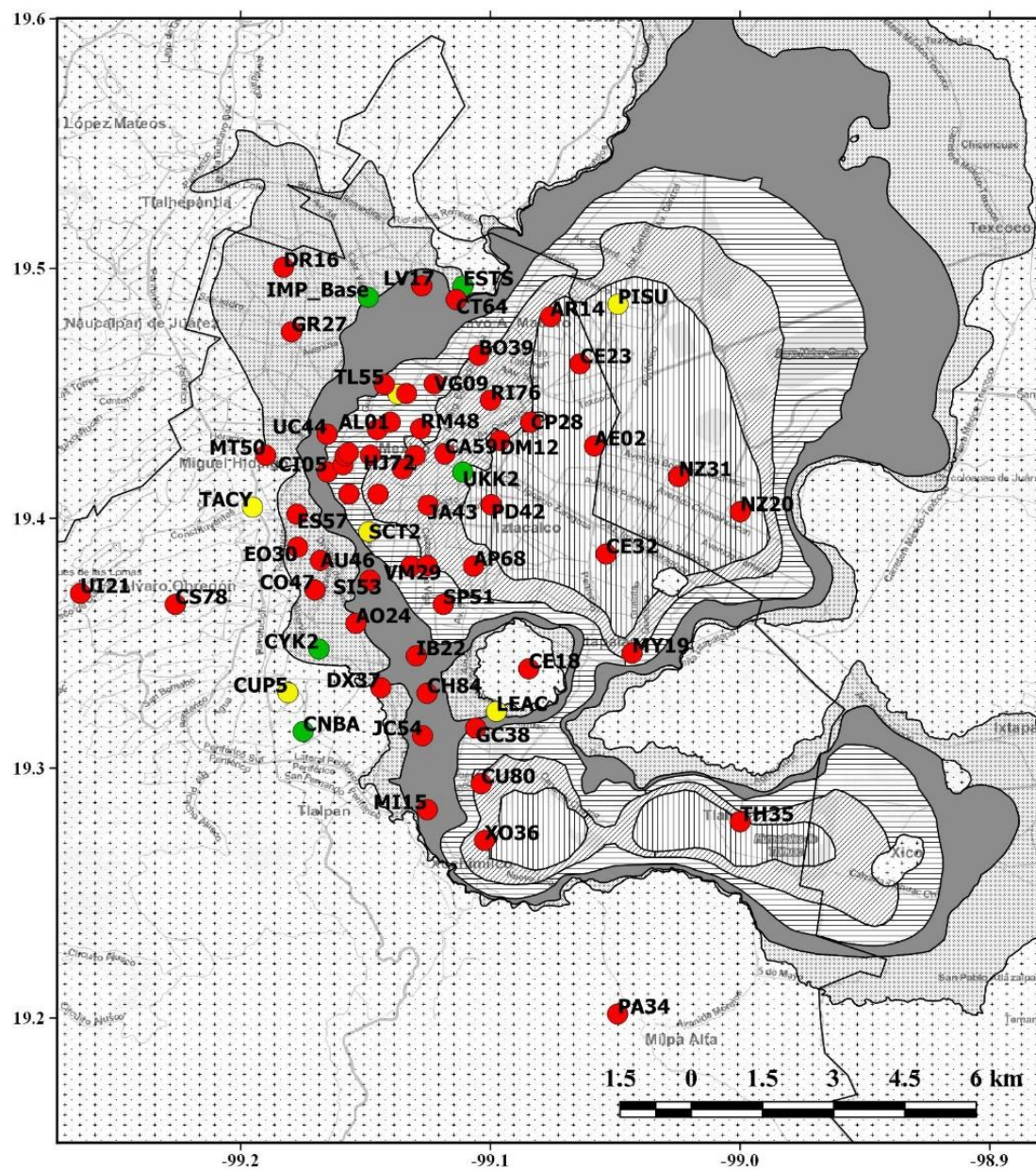


SEGURIDAD

SECRETARÍA DE SEGURIDAD
Y PROTECCIÓN CIUDADANA



CENAPRED
CENTRO NACIONAL DE
PREVENCIÓN DE DESASTRES



Microzonificación Sísmica
RCDF-2004

- | | |
|------------|------------|
| Zona I | Zona III b |
| Zona II | Zona III c |
| Zona III a | Zona III d |

ESTACIONES DE REDES SÍSMICAS

- CENAPRED
- II-UNAM
- CIRES

Figura 1.1 Ubicación de las estaciones acelerométricas dentro del Valle de México con información disponible de los sismos del 07 y 19 de septiembre de 2017.

Av. Delfín Madrigal No. 665, Col. Pedregal de Santo Domingo, Alcaldía Coyoacán
Ciudad de México, C.P. 04360, Tel. 52+(55) 5424 6100, www.gob.mx/cenapred

Los avisos de privacidad están disponibles para consulta en
<https://www.gob.mx/cenapred/es/documentos/avisos-de-privacidad-del-cenapred>



2. DESCRIPCIÓN DE LOS TRABAJOS REALIZADOS.

En este estudio se obtuvieron los espectros de respuesta elástico-lineales y mapas de aceleración, con la información disponible de los sismos del 07 y 19 de septiembre de 2017 en las estaciones que componen las redes acelerométricas que operan en el Valle de México.

2.1 Características de los sismos del 07 y 19 de septiembre de 2017

Sismo del 07 de septiembre de 2017

El día 8 de septiembre de 2017, a las 04:49:18 hora GMT (23:49:18 hora local del centro de México, 7 de septiembre) se registró un sismo de magnitud Mw 8.2 ubicado. Los datos hipocentrales fueron: -94.11° longitud E, 14.85° latitud N y 58 km de profundidad. Acorde a los datos reportados, el epicentro se localizó a 133 km al suroeste de Pijijiapan, Chiapas (SSN, 2017), en el Golfo de Tehuantepec (Figura 2.1).

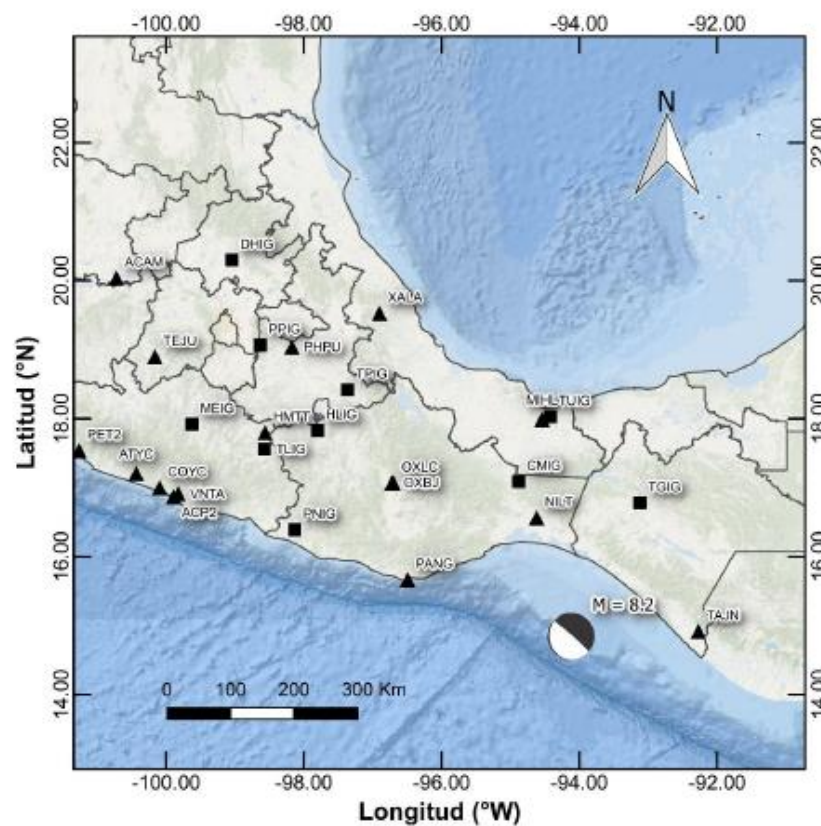


Figura 2.1 Ubicación epicentral del sismo de Magnitud 8.2 registrado a las 23:49:18 hora local del centro de México del 07 septiembre de 2017(Fuente SSN y II-UNAM).



SEGURIDAD

SECRETARÍA DE SEGURIDAD
Y PROTECCIÓN CIUDADANA



CENAPRED

CENTRO NACIONAL DE
PREVENCIÓN DE DESASTRES

Mecanismo Focal

El mecanismo focal del sismo muestra una falla de tipo normal o intraplaca (rumbo = 311° , echado = 84.4° , desplazamiento = -94.7°) como se observa en la Figura 2.2. En esta región, la placa de Cocos subduce (se desplaza) por debajo de la placa de Norteamérica y Caribe.

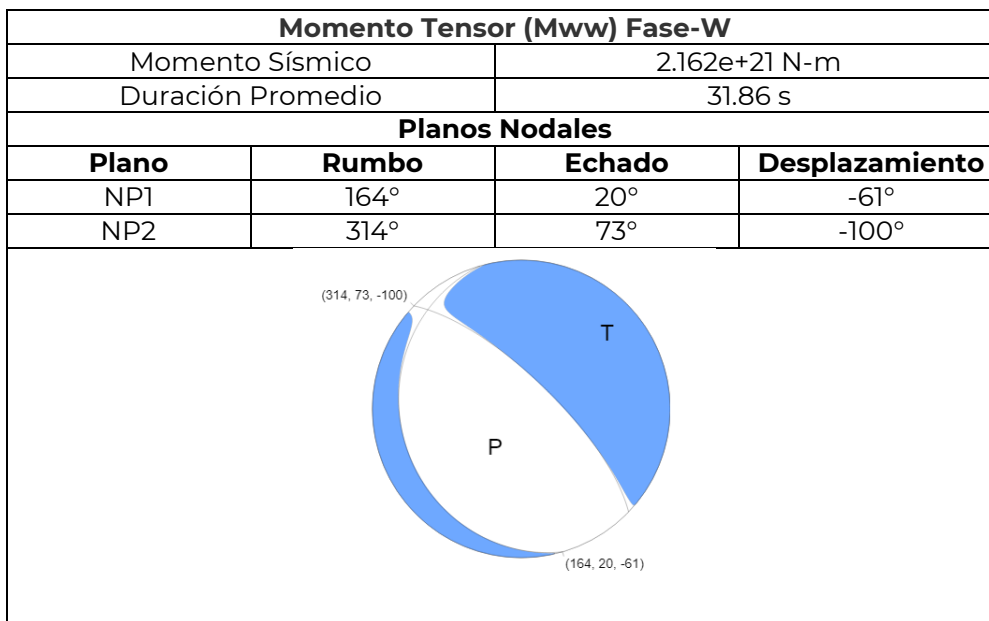
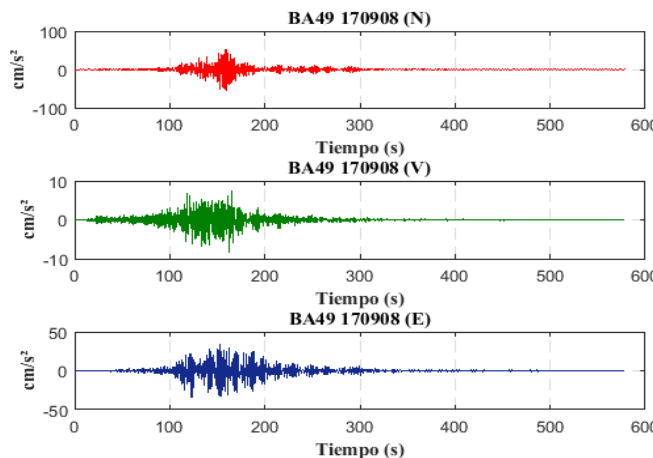


Figura 2.2 Mecanismo focal del temblor del día 7 de septiembre de 2017, Mw 8.2 (Fuente USGS).

Acelerogramas del sismo en el Valle de México del sismo del 07 de septiembre de 2017

Se presentan algunos de los registros más representativos para este evento de las redes acelerométricas del Valle de México, en dichas estaciones se alcanzaron las mayores aceleraciones espectrales.





SEGURIDAD

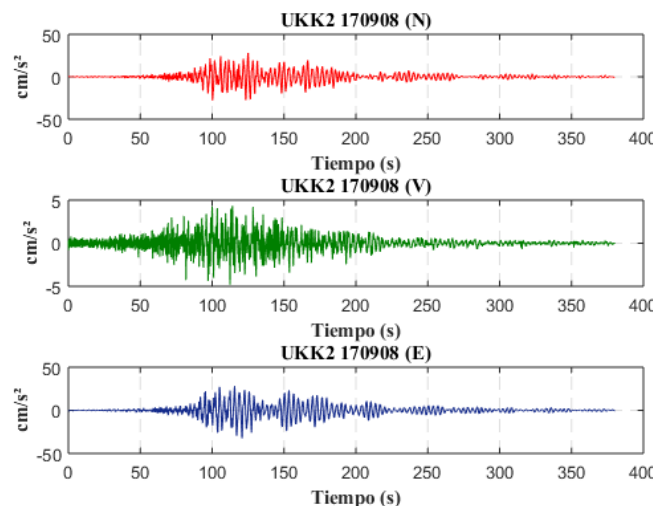
SECRETARÍA DE SEGURIDAD
Y PROTECCIÓN CIUDADANA



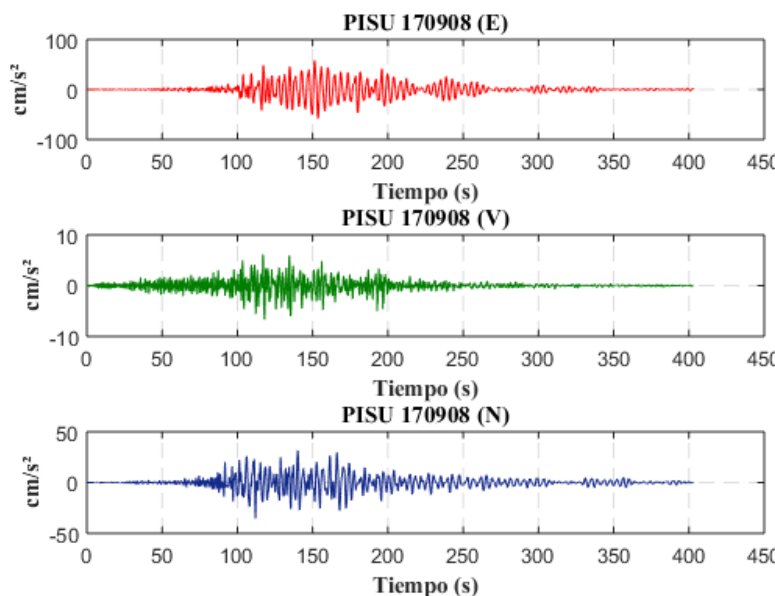
CENAPRED

CENTRO NACIONAL DE
PREVENCIÓN DE DESASTRES

Figurara 2.3 Acelerograma de la estación BA49 (Buenos Aires, Col. Doctores), perteneciente a la red del CIRES.



Figurara 2.4 Acelerograma de la estación UKK2 (Fray Servando, Col. Jardín Balbuena), perteneciente a la red del CENAPRED.





SEGURIDAD

SECRETARÍA DE SEGURIDAD
Y PROTECCIÓN CIUDADANA



CENAPRED

CENTRO NACIONAL DE
PREVENCIÓN DE DESASTRES

Figurara 2.5 Acelerograma de la estación PISU (Puente Impulsora Superficie), perteneciente a la red del II-UNAM.

Sismo del 19 de septiembre de 2017

El día 19 de septiembre de 2017, a las 18:14:40 hora GMT (13:14:40 hora local del centro de México) se registró un sismo de magnitud Mw7.1 ubicado al sureste de Axochiapan, Morelos y a 120 km de la Ciudad de México (Servicio Sismológico Nacional, 2017). Los datos hipocentrales fueron: 18.40 latitud N, -98.72 longitud W y 57 km de profundidad (Servicio Sismológico Nacional, 2017). Acorde a los datos reportados, el epicentro se localizó en el estado de Puebla (Figura 2.6).

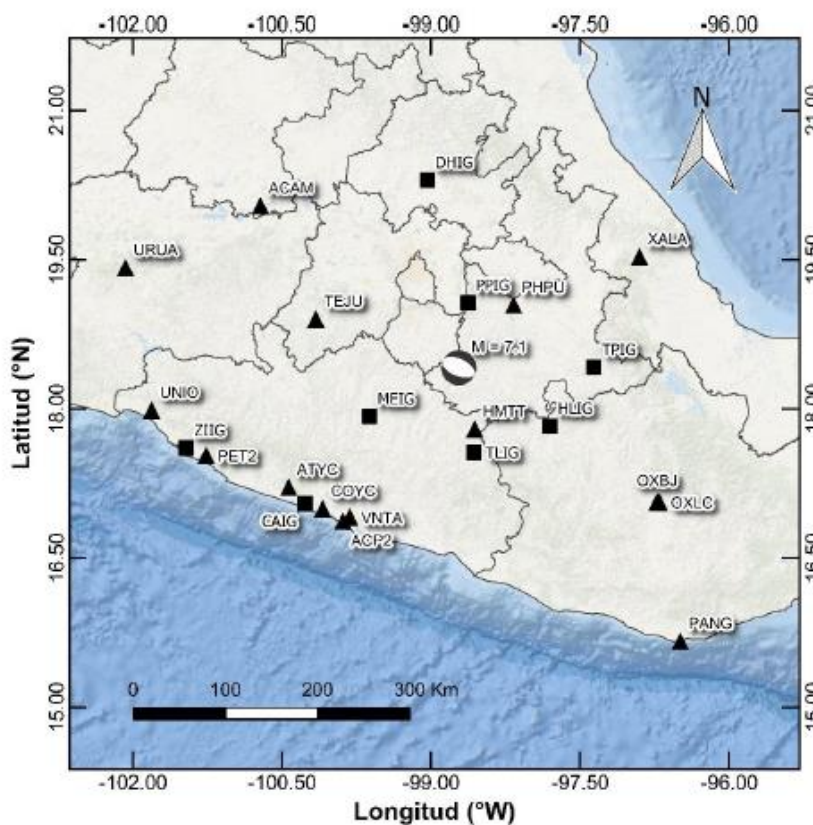


Figura 2.6 Ubicación epicentral del sismo de Magnitud 7.1 registrado a las 13:14:40 hora local del centro de México del 19 septiembre de 2017(Fuente SSN y II-UNAM).

Mecanismo Focal

El mecanismo focal del sismo muestra una falla de tipo normal o intraplaca (rumbo = 311°, echado = 84.4°, desplazamiento = -94.7°) como se observa en la Figura 2.7. En esta

Av. Delfín Madrigal No. 665, Col. Pedregal de Santo Domingo, Alcaldía Coyoacán
Ciudad de México, C.P. 04360, Tel. 52+(55) 5424 6100, www.gob.mx/cenapred

Los avisos de privacidad están disponibles para consulta en
<https://www.gob.mx/cenapred/es/documentos/avisos-de-privacidad-del-cenapred>



SEGURIDAD

SECRETARÍA DE SEGURIDAD
Y PROTECCIÓN CIUDADANA



CENAPRED
CENTRO NACIONAL DE
PREVENCIÓN DE DESASTRES

región, la placa de Cocos subduce (se desplaza) por debajo de la placa de Norteamérica y Caribe.

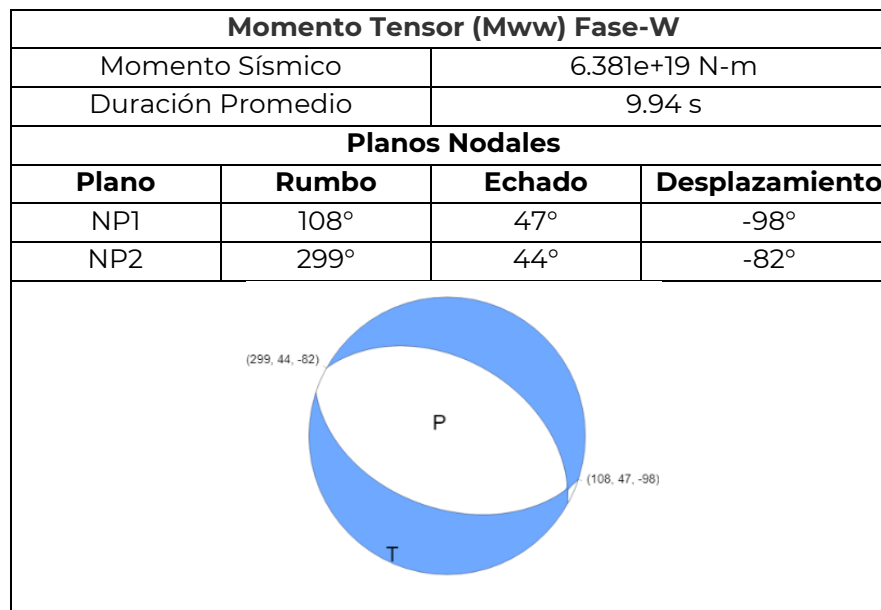
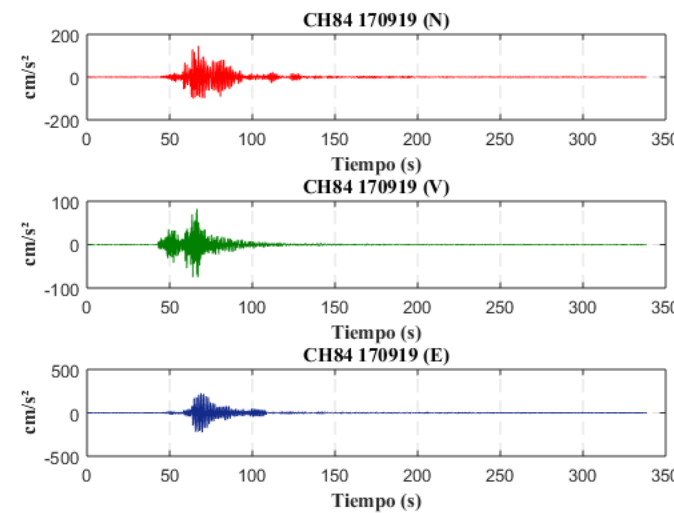


Figura 2.7 Mecanismo focal del temblor del día 19 de septiembre de 2017, Mw 7.1 (Fuente USGS).

Acelerogramas del sismo en el Valle de México del sismo del 19 de septiembre de 2017

Se presentan algunos de los registros más representativos para este evento de las redes acelerométricas del Valle de México, en dichas estaciones se alcanzaron las mayores aceleraciones espectrales.



Av. Delfín Madrigal No. 665, Col. Pedregal de Santo Domingo, Alcaldía Coyoacán
Ciudad de México, C.P. 04360, Tel. 52+(55) 5424 6100, www.gob.mx/cenapred

Los avisos de privacidad están disponibles para consulta en
<https://www.gob.mx/cenapred/es/documentos/avisos-de-privacidad-del-cenapred>



SEGURIDAD

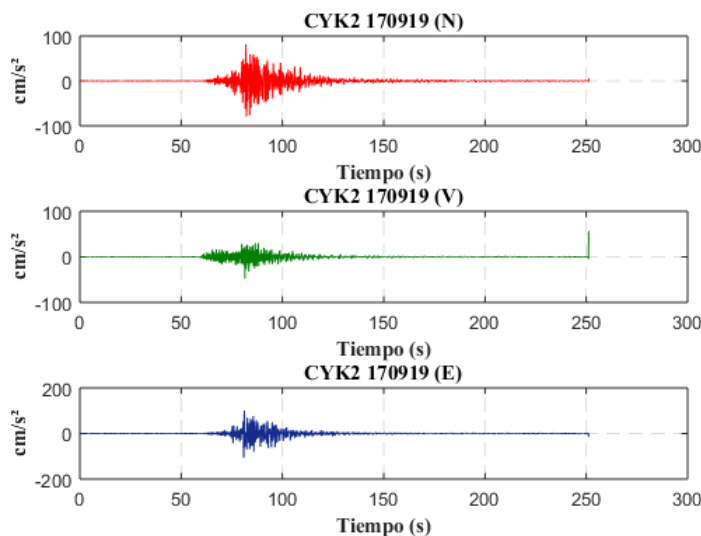
SECRETARÍA DE SEGURIDAD
Y PROTECCIÓN CIUDADANA



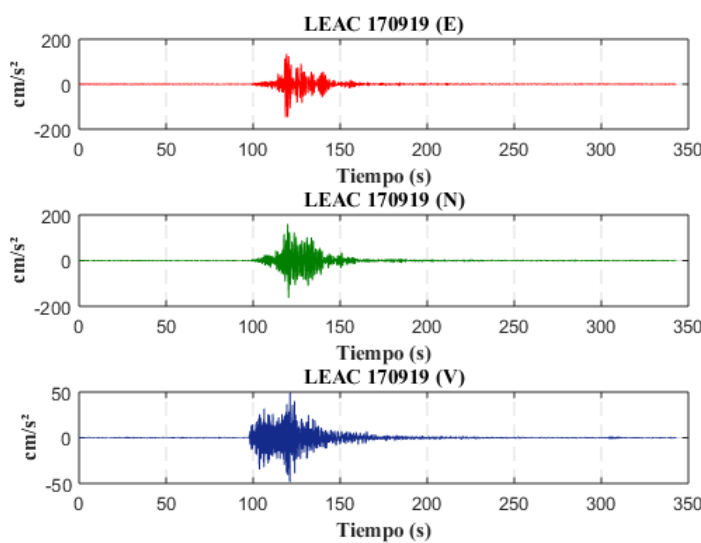
CENAPRED

CENTRO NACIONAL DE
PREVENCIÓN DE DESASTRES

Figurara 2.8 Acelerograma de la estación CH84 (Culhuacán), perteneciente a la red del CIRES.



Figurara 2.9 Acelerograma de la estación CYK2 (Coyoacán), perteneciente a la red del CENAPRED.



Figurara 2.10 Acelerograma de la estación LEAC (Lomas Estrella), perteneciente a la red del II-UNAM.



2.2 Espectros de respuesta

Es un gráfico que muestra la respuesta máxima (expresada en términos de desplazamiento, velocidad o aceleraciones) que produce una acción dinámica determinada en varios osciladores de 1GL. En el eje de las abscisas (X) se encuentra el periodo (o la frecuencia) de vibrar propio de la estructura y en las ordenadas (Y) la respuesta máxima calculada para cada periodo T del oscilador, con el mismo factor de amortiguamiento. “Los espectros se utilizan fundamentalmente para estudiar las características del terremoto y su efecto sobre las estructuras. Las curvas de los espectros presentan variaciones bruscas, con numerosos picos y valles, que resultan de la complejidad del registro de aceleraciones del terremoto. El concepto de espectro de respuesta es una importante herramienta de la dinámica estructural, de gran utilidad en el área de diseño sismo-resistente”. (Crisafulli et. al 2002).

Para construir un espectro de respuesta es necesario calcular la respuesta dinámica de varios osciladores de 1GL con diferentes períodos de vibrar T y con igual factor de amortiguamiento. Para todos y cada uno de ellos se exhibirá una respuesta diferente. Una vez calculada la respuesta de los osciladores, se determina el máximo (en valor absoluto, dado que el signo no tiene importancia) de cada uno de ellos y se coloca en un gráfico en función del periodo de vibración, para obtener así un espectro de respuesta. Es decir, que la respuesta máxima de cada oscilador con periodo T representa un punto del espectro (Figura 2.11).

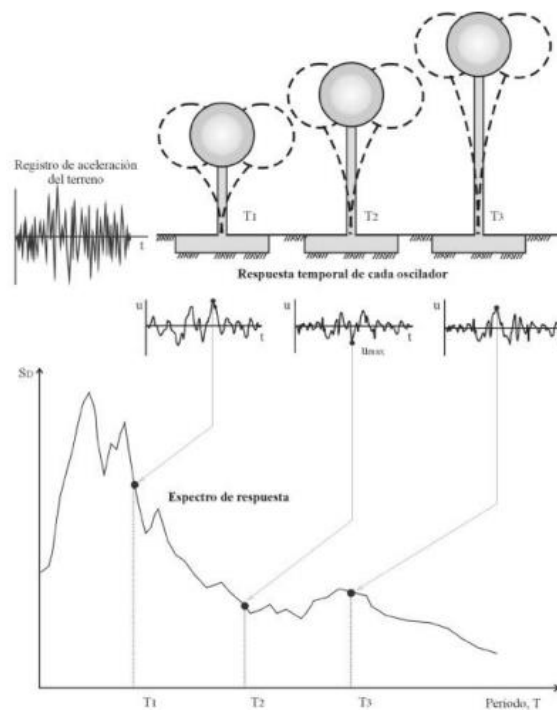


Figura 2.11 Gráfico indicativo del método de determinación del espectro de respuesta (Crisafulli et. al 2002).



SEGURIDAD

SECRETARÍA DE SEGURIDAD
Y PROTECCIÓN CIUDADANA



CENAPRED

CENTRO NACIONAL DE
PREVENCIÓN DE DESASTRES

2.3 Mapas de Aceleración

Es la representación gráfica de la aceleración horizontal máxima alcanzada en cada estación para cada periodo (T) analizado, representada en valores de cm/s². Los valores máximos de los componentes verticales no se usan en la construcción de los mapas porque son, en promedio, más bajas que las aceleraciones alcanzadas en la componente horizontal, las cuales son usadas en predicción de movimiento en el suelo. El intervalo de contorno varía mucho y se basa en el valor máximo registrado en la red para cada evento.

Para eventos de moderados a grandes, el patrón de aceleración máxima del terreno suele tener mayor incertidumbre y si agudiza cuando no existe una red densa donde se pueda obtener información de las aceleraciones alcanzadas. Esto se ve reflejado principalmente en lugares con diferencias geológicas a pequeña escala y cerca de los sitios que pueden cambiar significativamente la amplitud de aceleración y el carácter de la forma de onda. Aunque la distancia a la falla causal domina claramente el patrón, a menudo hay excepciones, debido a los efectos de sitio y la amplificación del terreno que se generan. Esto hace que la interpolación de movimientos del terreno entre estaciones tenga intrínseca incertidumbre que se incrementa con la ausencia de datos. El patrón de aceleración máxima alcanzada, generalmente refleja lo que se siente desde niveles bajos de del movimiento hasta niveles moderados de daño.

En las figuras 2.12 a 2.15 se presentan los mapas de aceleración para la PGA registrada y estimada (II-UNAM y CENAPRED) durante los eventos del mes de septiembre de 2017 de Mw 8.2 y 7.1 respectivamente.



SEGURIDAD

SECRETARÍA DE SEGURIDAD
Y PROTECCIÓN CIUDADANA



CENAPRED

CENTRO NACIONAL DE
PREVENCIÓN DE DESASTRES

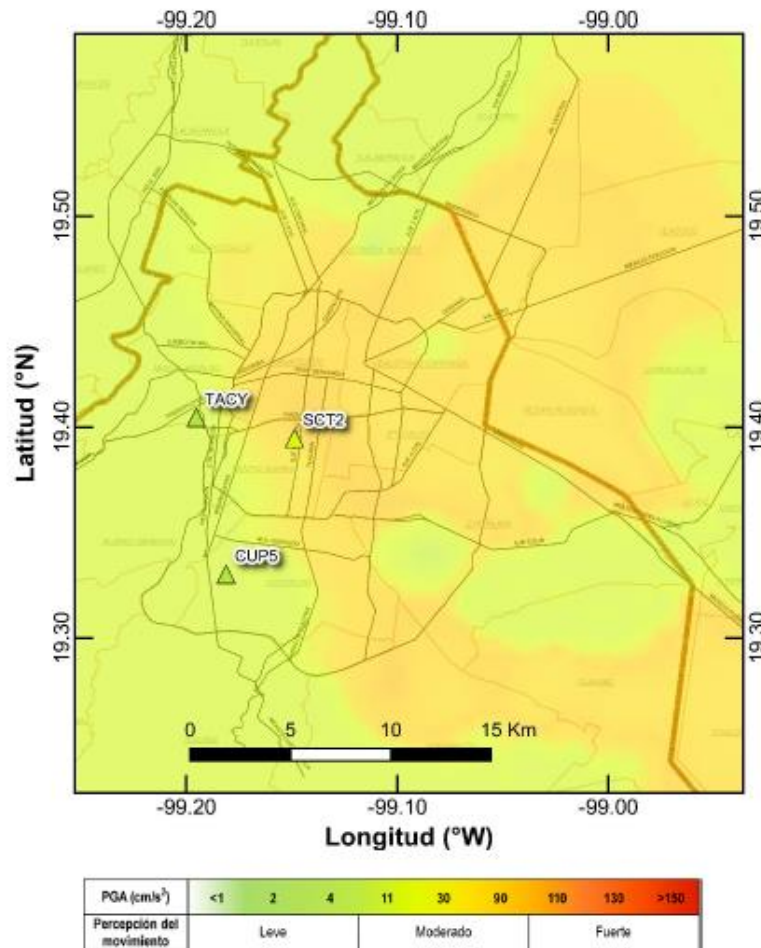


Figura 2.12 Mapa de Intensidad de la Aceleración Máxima del Suelo (PGA) en la Ciudad de México durante el sismo del 07 de septiembre de 2017 (Fuente II-UNAM).



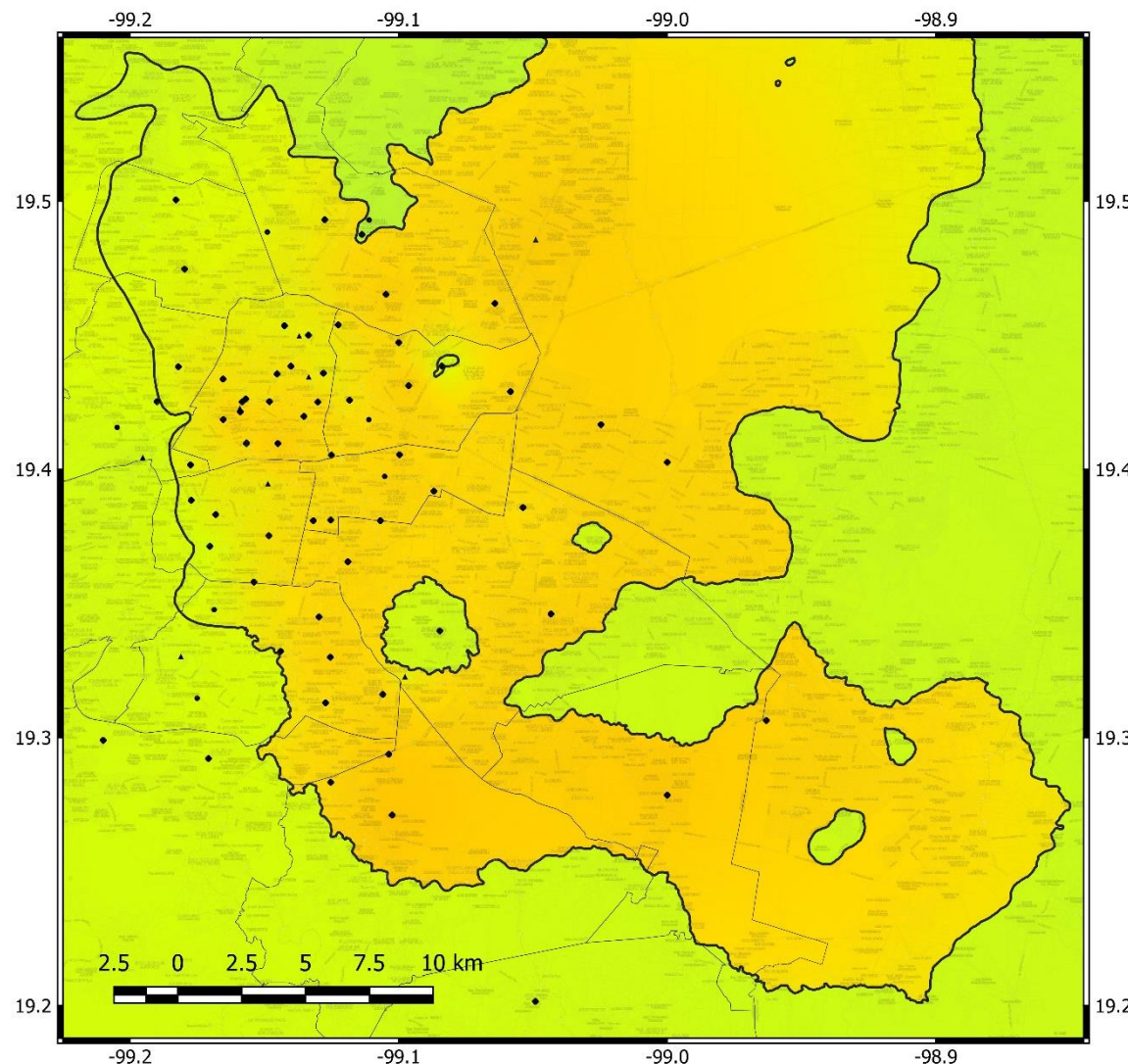
SEGURIDAD

SECRETARÍA DE SEGURIDAD
Y PROTECCIÓN CIUDADANA



CENAPRED

CENTRO NACIONAL DE
PREVENCIÓN DE DESASTRES



CENAPRED

CENTRO NACIONAL DE
PREVENCIÓN DE DESASTRES

Figura 2.13 Mapa de Intensidad de la Aceleración Máxima del Suelo (PGA) en la Ciudad de México durante el sismo del 07 de septiembre de 2017 (Fuente CENAPRED).

Av. Delfín Madrigal No. 665, Col. Pedregal de Santo Domingo, Alcaldía Coyoacán
Ciudad de México, C.P. 04360, Tel. 52+(55) 5424 6100, www.gob.mx/cenapred

Los avisos de privacidad están disponibles para consulta en
<https://www.gob.mx/cenapred/es/documentos/avisos-de-privacidad-del-cenapred>



SEGURIDAD

SECRETARÍA DE SEGURIDAD
Y PROTECCIÓN CIUDADANA



CENAPRED

CENTRO NACIONAL DE
PREVENCIÓN DE DESASTRES

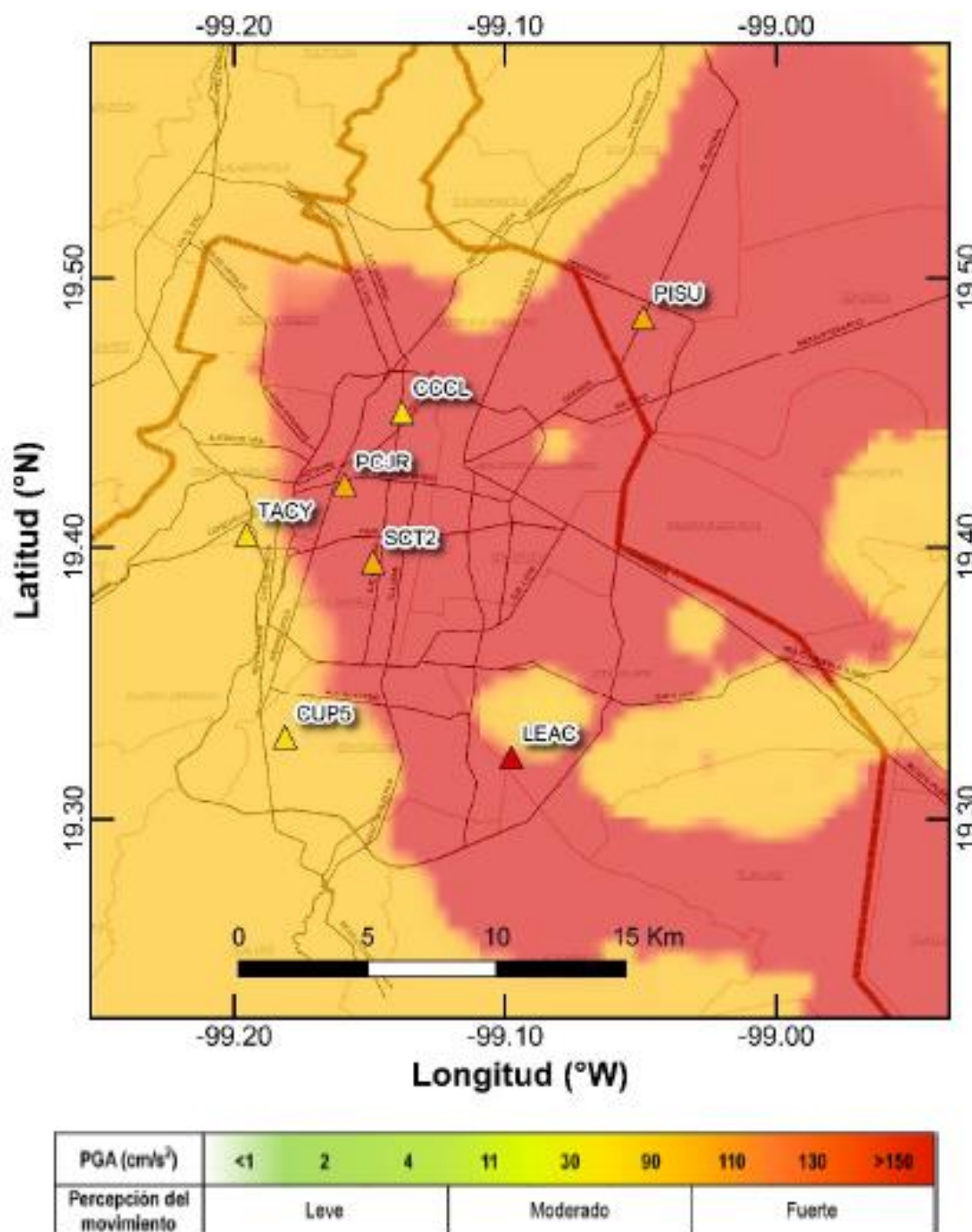


Figura 2.14 Mapa de Intensidad de la Aceleración Máxima del Suelo (PGA) en la Ciudad de México durante el sismo del 19 de septiembre de 2017 (II-UNAM).

Av. Delfín Madrigal No. 665, Col. Pedregal de Santo Domingo, Alcaldía Coyoacán
Ciudad de México, C.P. 04360, Tel. 52+(55) 5424 6100, www.gob.mx/cenapred

Los avisos de privacidad están disponibles para consulta en
<https://www.gob.mx/cenapred/es/documentos/avisos-de-privacidad-del-cenapred>



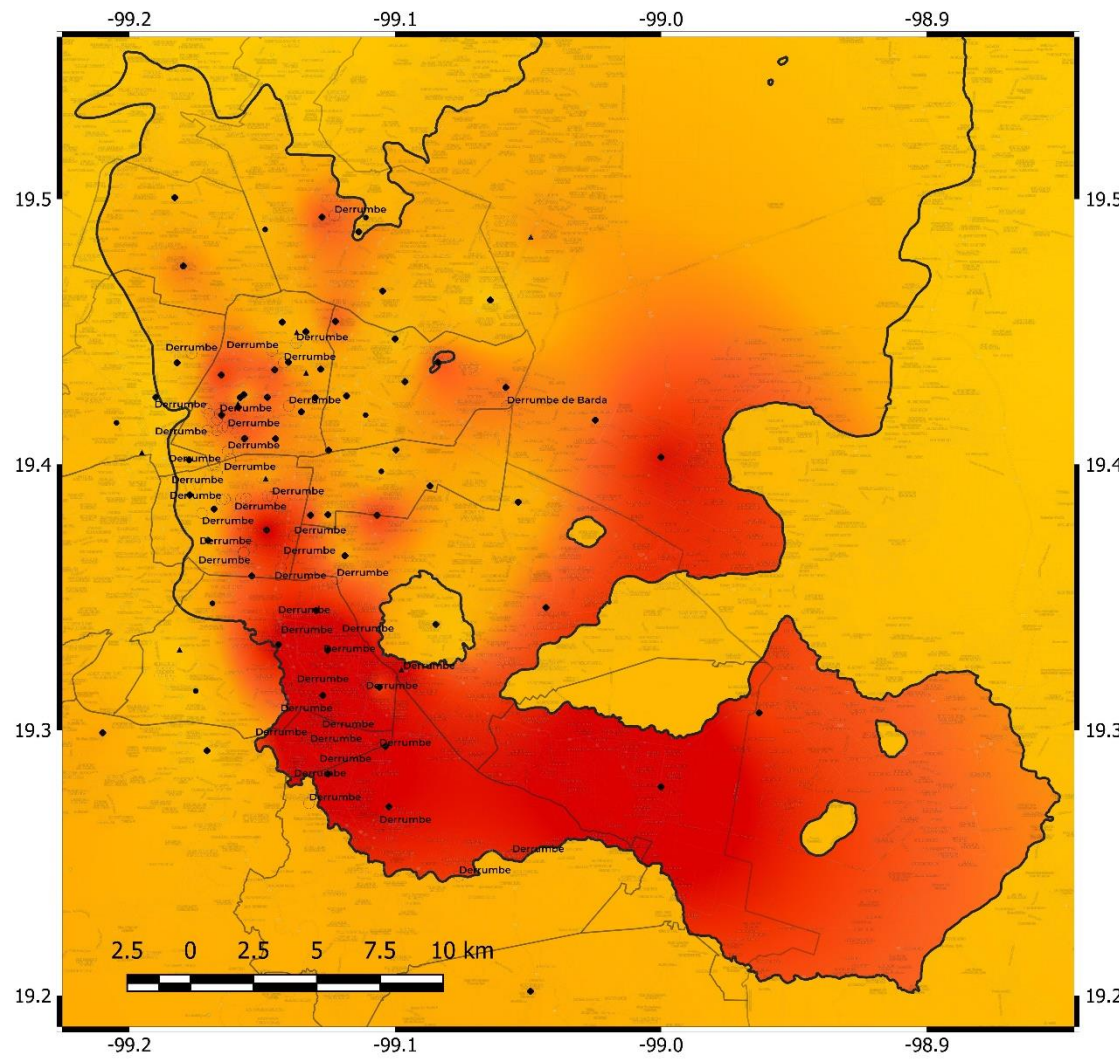
SEGURIDAD

SECRETARÍA DE SEGURIDAD
Y PROTECCIÓN CIUDADANA



CENAPRED

CENTRO NACIONAL DE
PREVENCIÓN DE DESASTRES



Mapa de Intensidades MacroSísmicas

Intensidad Macrosísmica PGA (gal)

- 1 Leve
- 2 Leve
- 4 Leve
- 11 Moderado
- 30 Moderado
- 90 Moderado
- 110 Fuerte
- 130 Fuerte
- +150 Fuerte

● Daños y Derrumbes OFICIAL

- Estaciones CIRES
- Estaciones CENAPRED
- ▲ Estaciones II



CENAPRED

CENTRO NACIONAL DE
PREVENCIÓN DE DESASTRES

Figura 2.15 Mapa de Intensidad de la Aceleración Máxima del Suelo (PGA) en la Ciudad de México durante el sismo del 19 de septiembre de 2017 (CENAPRED).

Av. Delfín Madrigal No. 665, Col. Pedregal de Santo Domingo, Alcaldía Coyoacán
Ciudad de México, C.P. 04360, Tel. 52+(55) 5424 6100, www.gob.mx/cenapred

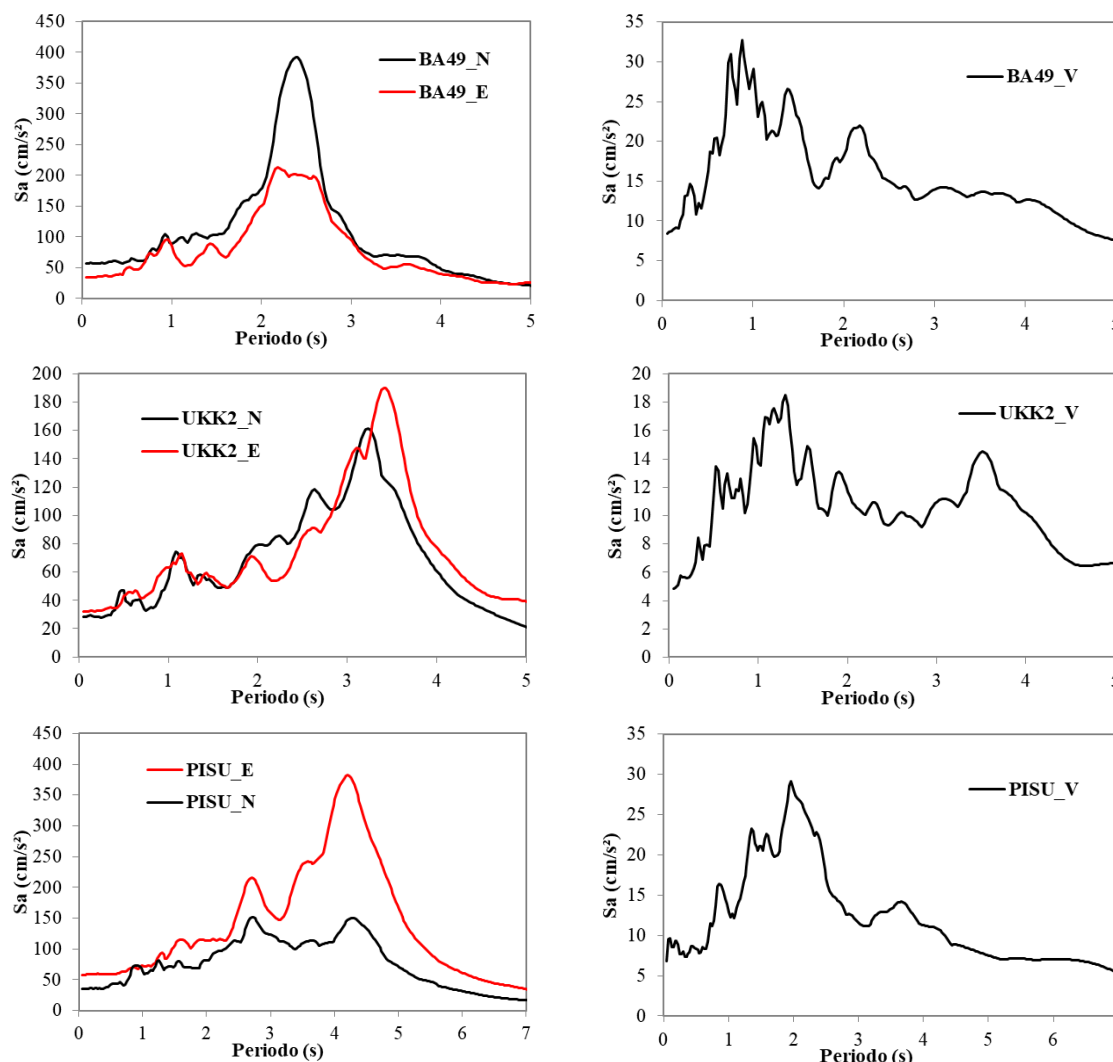
Los avisos de privacidad están disponibles para consulta en
<https://www.gob.mx/cenapred/es/documentos/avisos-de-privacidad-del-cenapred>

3. Resultados.

3.1 Espectros de respuesta del sismo del 07 de septiembre

Se presentan de forma gráfica los Espectros de Respuesta (ER) de aceleración con 5% de amortiguamiento crítico, obtenido con los registros más representativos para el evento del 07 de septiembre de 2017, de las redes acelerométricas del Valle de México, en dichas estaciones se alcanzaron las mayores aceleraciones espectrales. Posteriormente se presentan de forma numérica (Tabla 3.1) los restantes Espectros de respuesta, no obstante si se desea conocer el resultado de cada una de estos resultados de forma gráfica favor de consultar el siguiente enlace:

https://drive.google.com/file/d/1RnWd69JhEu2AgJYcYNFjyZqxYIMUet_L/view?usp=sharing



Figurara 3.1 Espectros de respuesta de aceleración obtenidos con los datos de las estaciones BA49 (CIRES), UKK2 (CENAPRED) y PISU (II-UNAM).

Av. Delfín Madrigal No. 665, Col. Pedregal de Santo Domingo, Alcaldía Coyoacán
Ciudad de México, C.P. 04360, Tel. 52+(55) 5424 6100, www.gob.mx/cenapred

Los avisos de privacidad están disponibles para consulta en
<https://www.gob.mx/cenapred/es/documentos/avisos-de-privacidad-del-cenapred>



SEGURIDAD

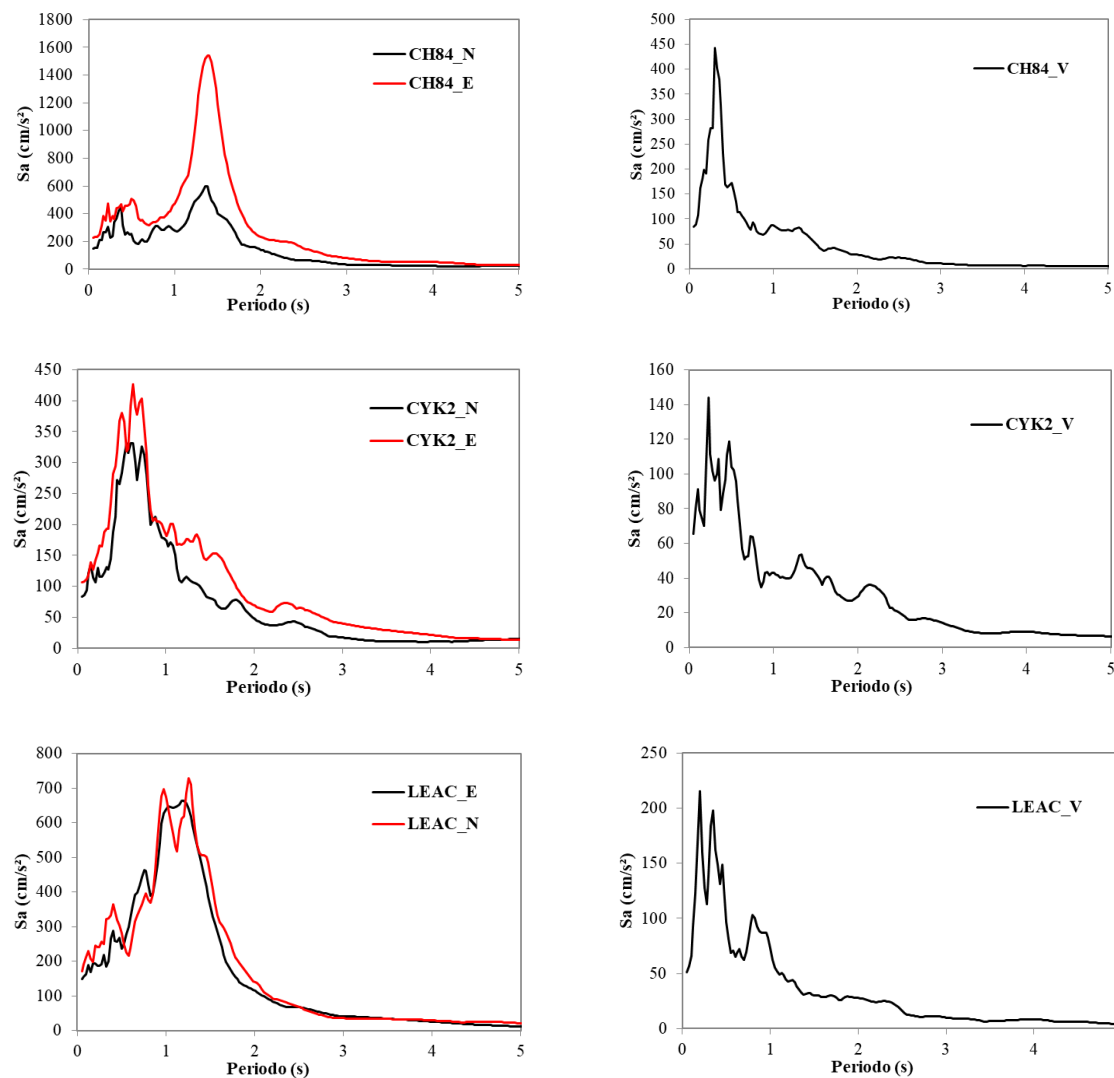
SECRETARÍA DE SEGURIDAD
Y PROTECCIÓN CIUDADANA



CENAPRED
CENTRO NACIONAL DE
PREVENCIÓN DE DESASTRES

numérica (Tabla 3.2) los restantes Espectros de respuesta no obstante si se desea conocer el resultado de cada una de estos resultados de forma gráfica favor de consultar el siguiente enlace:

https://drive.google.com/file/d/1RnWd69JhEu2AgJYcYNFjyZqxYIMUet_L/view?usp=sharing



Figurara 3.2 Espectros de respuesta de aceleración obtenidos con los datos de las estaciones CH84 (CIRES), CYK2 (CENAPRED) y LEAC (II-UNAM).

Tabla 3.2 Valores máximos de aceleración para cada estación y canal analizado. Se incluyen los valores de aceleración espectral (SA) para los períodos **T = PGA, 0.1, 0.3, 0.5, 1.0, 1.5, 2.0, 3.0 y 5.0 s.** Se indica el máximo valor de Sa y el periodo asociado.

Av. Delfín Madrigal No. 665, Col. Pedregal de Santo Domingo, Alcaldía Coyoacán
Ciudad de México, C.P. 04360, Tel. 52+(55) 5424 6100, www.gob.mx/cenapred

Los avisos de privacidad están disponibles para consulta en
<https://www.gob.mx/cenapred/es/documentos/avisos-de-privacidad-del-cenapred>



Conclusiones

En este análisis se puede observar que las aceleraciones en la Ciudad de México alcanzadas durante el sismo del 19 de septiembre sobrepasan al doble las registradas durante el evento del 07 de septiembre en cada sitio analizado. Esto debido a las condiciones y epicentros de cada sismo u su cercanía a la Ciudad de México.

Los mapas de aceleraciones para la PGA obtenidos en este estudio tienen algunas diferencias respecto al elaborado por el II-UNAM, debido a que el mapa del II-UNAM es automático y no toman en consideración los datos de la red acelerométrica de la CDMX. De esta consideración es importante tener acceso a los datos de la red acelerométrica lo más rápido posible después de que ocurra el evento sísmico, para verificar estos datos.

Para el sismo del 07 de septiembre 2017, los valores máximos de aceleración se dieron en los períodos esperados acorde a la microzonificación sísmica del valle de México (RCDF 2004). Sin embargo durante el sismo del 19 de septiembre de 2017 se pudo observar que en también existe una respuesta en períodos de 1 segundo, en los suelos del Valle de México, siendo este uno de los principales factores de daño en edificaciones. Algunos estudios se han enfocado analizare el contenido de frecuencias observado durante el sismo y que en mayor o menor medida pueden esclarecer por qué se presentó este fenómeno.

Para realizar este trabajo se desarrollaron herramientas (Anexo 1), que son de utilidad y que pueden hacer más rápidos los análisis de las señales.

Queda para un trabajo posterior realizar un estudio de utilizando la técnica de Nakamura con los datos de aceleración disponible en el valle y los cuales integren los sismos más importantes registrados en la región.

Referencias

Abrahamson N. A. and Silva W. J. (1997) "Empirical Response spectral attenuation relations for shallow crustal earthquakes", Seism. Res. Letters, vol. 68, pag. 94-127

Atkinson, G.M., and Boore, D.M., 2006, Earthquake ground-motion predictions for eastern North America: Bull. Seism. Soc. Am., v. 96, p. 2181-2205.



Boore, D.M., Joyner, W.B., and Fumal, T.E., 1997, *Equations for estimating horizontal response spectra and peak acceleration from Western North American earthquakes: A summary of recent work:* Seismological Research Letters, v. 68, no. 1, p. 128-153.

Gutiérrez, C and S K Singh (1992), "A site effect study in Acapulco, Guerrero, Mexico: comparison of results", Bull. Seism. Soc. Am. 78, 42-63.

Mena, Ulises, Perez-Rocha, L.E. y Avilés, J. (2006) "Espectros de diseño sísmico para el territorio mexicano", Soc. Mex. Ing. Estructural, XV Congreso Nacional de Ingeniería Estructural, Pto. Vallarta, México, 2-29.

Reglamento de Construcciones para el Distrito Federal RCDF (2004 y 2017).
Normas Técnicas Complementarias para Diseño por Sismo. Gaceta oficial del Distrito Federal.

Ordaz, M., Miranda, E. y Avilés, J. (2000), "Propuesta de espectros de diseño por sismo para el DF", Sociedad Mexicana de Ingeniería Sísmica, VI Simposio Nacional de Ingeniería Sísmica, 22 y 23 septiembre, Querétaro.

Ordaz, M., Miranda, E., Reinoso, E., y Perez-Rocha, L.E. (2000a) "Seismic loss estimation model for México city", XII World Conference on Earthquake Engineering, Auckland, New Zealand.

Ordaz, M. y Reinoso, E. (1987) "Uso de teoría de vibraciones aleatorias en la determinación de los espectros de diseño del reglamento para las construcciones del Distrito Federal", Soc. Mex. Ing. Sism.,VII Congreso Nacional de Ingeniería Sísmica, Querétaro, México.

Zúñiga, F.R., Suarez, G., Figueroa, A., Mendoza, A., 2016, A first-order seismotectonic regionalization of Mexico for seismic hazard and risk estimation. DOI 10.1007/s10950-017-9666-0.

Agradecimientos.

Al Centro de Instrumentación y Registro Sísmico, A. C. (Cires), por proporcionar sus registros de aceleración sin los cuales no sería posible realizar estos análisis.

De forma similar al Instituto de Ingeniería de la UNAM (II-UNAM), por la información y los mapas referentes a los sismos analizados.



Anexo I.

% Rutina para leer acelerogramas

```
File1='CYK2 170919_N.DAT';
File2='CYK2 170919_V.DAT';
File3='CYK2 170919_E.DAT';
% Para quitar los encabezados
fid=fopen(File1,'r');
A1=textscan(fid,'%f','headerlines',1); % modificar 1 por el número de líneas que se desea eliminar
A1=cell2mat(A1);
fclose(fid);
fid=fopen (File2,'r');
A2=textscan(fid,'%f','headerlines',1);
A2=cell2mat (A2);
fclose (fid);
fid=fopen (File3,'r');
A3=textscan(fid,'%f','headerlines',1);
A3=cell2mat(A3);
fclose(fid);
S1=A1; % se declara la variable
S2=A2; % se declara la variable
S3=A3; % se declara la variable

N1=length(S1); % longitud del Vector
N2=length(S2); % longitud del Vector
N3=length(S3); % longitud del Vector

Fs=100; % Numero de muestras

t1=(0:N1-1)/Fs;
t2=(0:N2-1)/Fs;
t3=(0:N3-1)/Fs;

subplot (3,1,1)
plot (t1,S1)
title('Señal 1 (S1)')
xlabel('Tiempo (s)')
ylabel('cm/s')

subplot (3,1,2)
plot (t2,S2)
title('Señal 2 (S2)')
xlabel('Tiempo (s)')
ylabel('cm/s')

subplot (3,1,3)
plot (t3,S3)
title('Señal 3 (S3)')
xlabel('Tiempo (s)')
ylabel('cm/s')
```